

## ارزیابی قابلیت روش آلتراسونیک با استفاده از موج طولی موازی سطح با زاویه شکست بحرانی در حذف تنش پسماند و افزایش عمر خستگی

پژمان تقی پور بیرگانی

گروه مهندسی مکانیک، واحد اهواز، دانشگاه آزاد اسلامی، اهواز، ایران

### Evaluating the capability of ultrasonic method using longitudinal wave parallel to surface with critical refraction angle in removing residual stress and increasing fatigue life

Pezhman Taghipour Birgani

Department of Mechanical Engineering, Ahvaz Branch, Islamic Azad University, Ahvaz, Iran

#### Abstract

The measurement and removal of residual stresses using the ultrasonic method is being developed. In this paper, the capability of ultrasonic method using longitudinal wave with critical refraction angle or LCR wave in measuring and removing residual stress caused by welding has been investigated. Two plates of 2024-T351 alloy are welded together. To measure their residual stress field, the acoustoelastic property is used, and the changes in the speed of propagation of ultrasonic elastic waves when passing through the residual stress field are investigated. Then, the relationships of the effective stress intensity factor and the fatigue crack growth rate in the case where the welded parts have residual stress and are subjected to cyclic loading have been obtained. Finally, in order to eliminate tensile residual stress, a package of ultrasonic waves has been used again, and the modified relationships of stress intensity factor and fatigue crack growth rate have been introduced in this regard.

**Keywords:** Longitudinal Ultrasonic Wave, Residual Stress, Stress Intensity Factor, The Fatigue Crack Growth Rate

Received: 27/04/2023

Accepted: 08/06/2023

#### چکیده

اندازه‌گیری و حذف تنش‌های پسماند با استفاده از روش آلتراسونیک در حال توسعه است. در این مقاله، قابلیت روش آلتراسونیک با استفاده از موج طولی با زاویه شکست بحرانی یا موج LCR در اندازه‌گیری و حذف تنش پسماند ناشی از جوشکاری مورد بررسی قرار گرفته است. دو ورق از جنس آلیاژ 2024-T351 به یکدیگر جوش داده شده‌اند. برای اندازه‌گیری میدان تنش پسماند آن‌ها از خاصیت آکوستوالاستیک استفاده می‌شود و تغییرات سرعت انتشار امواج کشسان فراصوت هنگام عبور از میدان تنش‌های پسماند بررسی می‌شوند. سپس روابط ضربی شدت تنش موثر و نرخ رشد ترک خستگی را در حالتی که قطعات به هم جوش داده شده دارای تنش پسماند می‌باشند و تحت بارگذاری سیکلی قرار گرفته‌اند، بدست آورده شده‌اند. در نهایت جهت حذف تنش پسماند کششی مجدد از مجموعه‌ای از امواج آلتراسونیک بهره گرفته شده است و روابط اصلاح شده ضربی شدت تنش و نرخ رشد ترک خستگی در این راستا معرفی شده است.

**واژه‌های کلیدی:** موج آلتراسونیک طولی، تنش پسماند، ضربی شدت تنش،  
نرخ رشد ترک خستگی

تاریخ دریافت: ۱۴۰۲/۰۷/۰۷

تاریخ پذیرش: ۱۴۰۲/۰۳/۱۸

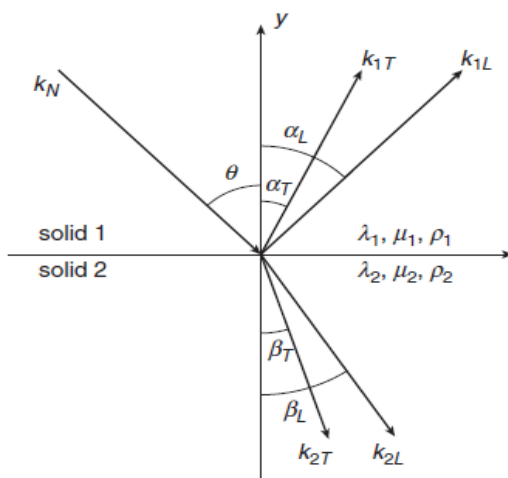
## ۱. مقدمه

نیامده است. در این تحقیق، مقایسه بین حالت قبل و بعد از اعمال ارتعاشات صورت نگرفت. تحقیقات وزنی و کراومر<sup>[۴]</sup>، بیشترین تاثیر را در شناخت مکانیسم و راندمان فرایند تنش‌گیری ارتعاشی داشته است. در این تحقیق فرایند تنش‌گیری ارتعاشی با فرکانس رزونانس، بر روی تسممهای المن انجام گرفت و به مقدار ۳۳ درصد تنش‌های پسماند موجود کاهش یافت. لوکشین<sup>[۵]</sup>، از ارتعاشات با فرکانس رزونانسی برای تنش‌گیری حلقه‌های آلومینیومی ریخته گردیده استفاده کرد و در این تحقیق حداقل به مقدار ۷۰ درصد از مقدار تنش‌های پسماند قطعات کم شد. داوسن و مفات<sup>[۶]</sup>، برای بررسی بیشتر اثر ارتعاشات با فرکانس پایین تر بر روی مواد مختلف، از فرکانس‌های رزونانس ۳۳ و ۶۶ و ۹۲ هرتز استفاده کرد و مشاهده کردند که با تغییر فرکانس، تفاوت معنی داری در کاهش تنش‌های پسماند دیده نمی‌شود. در این تحقیق با افزایش دامنه کرنش تناوبی، مقدار تنش‌های پسماند نیز به صورت خطی کاهش یافت. والکر و همکاران<sup>[۷]</sup>، توانستند تنش‌های پسماند کششی را با روش نورد در فولاد کم‌آلیاژی ایجاد کرد و با اعمال ارتعاشات با فرکانس ۱۰۰ هرتز به مقدار ۴۰ درصد از تنش‌های پسماند اولیه را کاهش دهند. همچنین لو<sup>[۸]</sup>، مدلی را ارائه کرد که در آن، با استناد به اثر ترکیبی تنش‌های پسماند اولیه و تنش‌های ناشی از بارگذاری ارتعاشی خارجی، حرکت نابجایی‌ها را تشریح کرد و از XRD برای سنجش مدل خود بهره جست. در سال ۲۰۰۱ والکر و همکاران<sup>[۹]</sup>، تنش‌های پسماند جوشی را با تنش‌گیری ارتعاشی کاهش داده و نتایج آن را با عملیات حرارتی مقایسه کردند. در این تحقیق، از فرکانس روزونانس ۲۵ هرتز استفاده گردید و نتیجه حاصل نشان داد که در اثر تنش‌گیری ارتعاشی حداقل به مقدار ۳۰ درصد کاهش داشته است. وانگ<sup>[۱۰]</sup>، تحقیق مشابهی را بر روی تنش‌گیری فولادهای HSLA انجام داد و به کاهش ۲۰ مگاپاسکال از تنش‌های پسماند سازه‌های جوشی ساخته شده از این فولاد رسید. این مقدار با کاهش دیده شده در تنش‌گیری حرارتی یکسان است. استفاده از موج اولتراسونیک برای تنش‌گیری توسط آوکی<sup>[۱۱]</sup>، از ائمه

تنش‌های پسماند در قطعات، حین عملیات تولیدی خاصی از قبیل جوشکاری، ساچمه‌زنی، ریخته‌گری و یا نورد، پدید می‌آیند. این تنش‌ها در حالت خود تعادلی قرار داشته و در حالتی که قطعات تحت اثر هیچ نیروی خارجی قرار ندارند، سبب ایجاد میدان‌های تنش تک محوری و یا چند محوری در جهت‌های طولی، عرضی و ضخامتی می‌شود. از معایب وجود تنش‌های پسماند (به ویژه تنش‌های پسماند کششی) می‌توان به ایجاد ناپایداری ابعادی، اعوچ و ترک در قطعات اشاره کرد که کارکرد بهینه قطعات را تحت تاثیر قرار داده و طول عمر آن‌ها را برای کاربرد مورد نظر کاهش می‌دهد. تنش‌های پسماند اثر مخرب خود را هنگام بارگذاری نیز نشان می‌دهد و هنگامی که یک قطعه دارای تنش پسماند تحت بارگذاری خارجی قرار می‌گیرد، تنش‌های ناشی از بارگذاری خارجی به تنش‌های پسماند موجود افزوده شده و پدیده‌هایی از قبلی تسلیم، خستگی و شکست را در قطعات سرعت می‌بخشند. مورگان<sup>[۱۲]</sup>، تحقیقات اولیه مربوط به آلتراسونیک و تنش را شروع کردند. ایشان رابطه موج آلتراسونیک در یک محیط تحت تنش را بر حسب ضرایب درجه سوم در تابع انرژی بیان کرد. آغاز توسعه استفاده از روش آلتراسونیک برای اندازه‌گیری تنش، توسط هوگس و کلی<sup>[۲]</sup>، در سال ۱۹۵۳ و بر پایه نتایج و تئوری الاستیستیته غیرخطی مورگان بود. ایشان تغییرات سرعت موج آلتراسونیک را بعنوان تابعی از کرنش‌های الاستیک ماده ایزوتروپیک، بیان کرده و با این کار تئوری آکوستوالاستیستیته را پایه گذاری کردند. تحقیقات زیادی بر روی کارایی و راندمان تنش‌گیری در فرکانس‌های پایین انجام شده است. مک گلودریک<sup>[۳]</sup>، برای اولین بار با هدف کاهش تنش‌های پسماند ناشی از جوشکاری، ارتعاشی با فرکانس پایین تر از فرکانس رزونانس را به قطعات اعمال کرد در این تحقیق از فرکانس‌های ۱۰ تا ۳۰ هرتز و دامنه ۲/۵ تا ۹/۵ میلی‌متر استفاده شد و مشخص شد که مقدار تغییر شکل پلاستیک و اعوچ‌ها در نتیجه اعمال ارتعاشات قابل صرف نظر بوده و ترک یا شکستگی در نتیجه اعمال ارتعاشات به وجود

این خاصیت، سرعت انتشار موج الکترونیکی در ماده به تنش موجود در آن بستگی دارد.

اصول ایجاد موج LCR این گونه است که وقتی موج طولی به مرز مشترک دو ماده با مقاومت آکوستیکی متفاوت (یعنی سرعت انتشار موج طولی در این دو ماده متفاوت است) برخورد می‌کند، قسمتی از آن منعکس شده، باز می‌گردد که این فرایند را انعکاس گویند و قسمتی از آن با زوایای معینی وارد ماده می‌شود که به این فرایند انکسار می‌گویند. قسمت منکسر شده به دو دسته موج طولی و عرضی تقسیم می‌شود که هر کدام با زاویه متفاوتی در قطعه انتشار می‌یابند (شکل ۱).



شکل ۱- نتیجه برخورد موج طولی از یک محیط به محیط دیگر

همان‌طور که در شکل ۲ مشهود است بخشی از موج برابر با همان زاویه تابش  $\theta$  به محیط ۱ منعکس می‌شود. زوایای انکسار دو موج طولی و عرضی به ترتیب با  $\theta_L$  و  $\theta_T$  نشان داده شده است. مابقی موج وارد محیط ۲ می‌شود و دو نوع موج آلتراسونیک طولی با زاویه  $\beta_L$  و عرضی یا برشی با زاویه  $\beta_T$  تولید می‌کند. ارتباط بین این زوایا توسط معادله  $C$  استنل، یعنی معادله (۱) مربوط است؛ که در این فرمول  $C$  سرعت موج طولی برخورده در محیط ۱،  $C_L$  سرعت موج طولی در محیط ۲ و  $C_T$  سرعت موج عرضی در محیط ۲ است.

$$\frac{\sin \theta}{C} = \frac{\sin \beta_L}{C_L} = \frac{\sin \beta_T}{C_T} \quad (1)$$

شده. این تحقیق، با هدف اثبات کارایی ارتعاشات با فرکانس بالا، برای کاهش تنش‌های پسماند، در مرحله‌ی شکل‌گیری (در حین فرایند جوشکاری) انجام شد و از فرکانس روزنامه ۱۷/۸ هرتز استفاده شد. لیگون [۱۲]، از از ارتعاشات اولتراسونیک با فرکانس ۲۰ کیلو هرتز و دامنه ۱۵ تا ۱۹ میکرون برای تنش‌گیری نمونه‌های دولایه از جنس فتور زیست استفاده کرد. تنش‌های پسماند اولیه در این نمونه‌ها، پس از لایه نشانی دو ماده بر روی یکدیگر و تفاوت ضریب انبساط طولی آن‌ها به صورت خمش ظاهر گردیده و پس از تنش‌گیری مقدار خمش کاهش یافت. تحقیقات لیگون نشان داد که با افزایش دامنه ارتعاشات، راندمان تنش-گیری افزایش می‌یابد و با افزایش زمان تنش‌گیری تا زمان ۱۰ دقیقه، راندمان تنش‌گیری افزایش یافته و پس از آن کاهش می‌یابد. در تحقیقات انجام شده، آوکی و لیگون [۱۲-۱۱]، از ارتعاشات اولتراسونیک برای تنش‌گیری استفاده کردند، اما در تحقیقات آوکی [۱۱]، تنش‌های پسماند مرحله شکل‌گیری کاهش یافته و توزیع تنش‌های پسماند تغییر می‌کند. هدف تحقیق حاضر این است که روش بهینه اندازه-گیری تنش پسماند ناشی از جوشکاری توسط موج آلتراسونیک ارائه شود. در این راستا رابطه‌ای که نشانگر تغییرات سرعت انتشار امواج در جسم در حضور تنش پسماند باشد، استخراج شده است. در نهایت پس از محاسبه تنش پسماند از این امواج جهت حذف تنش‌های پسماند بهره گرفته شده است و رابطه اصلاح شده‌ای جهت نرخ رشد ترک خستگی ارائه گردید.

## ۲. اندازه‌گیری تنش پسماند طولی جوش کاری با روش آلتراسونیک

زاویه شکست بحرانی و یا به اختصار امواج LCR است. این روش محدودیتی از نظر جنس ماده‌ای که مورد بررسی قرار می‌گیرد ندارد و نیز برای اندازه‌گیری در قطعات ضخیم نیز مناسب است. اندازه‌گیری تنش پسماند با روش آلتراسونیک بر پایه خاصیت آکستوالاستیک مواد استوار است که بر اساس

$$\rho_0 V_{12}^2 = \mu + (m + \lambda)\theta + 4\mu\alpha_1 + 2\mu\alpha_2 - \frac{1}{2}n\alpha_3 \quad (4)$$

$$\rho_0 V_{13}^2 = \mu + (m + \lambda)\theta + 4\mu\alpha_1 + 2\mu\alpha_3 - \frac{1}{2}n\alpha_2 \quad (5)$$

$$\rho_0 V_{21}^2 = \mu + (m + \lambda)\theta + 4\mu\alpha_1 + 2\mu\alpha_2 - \frac{1}{2}n\alpha_3 \quad (6)$$

$$\rho_0 V_{22}^2 = \lambda + 2\mu + (21 + \lambda)\theta + (4m + 4\lambda + 10\mu)\alpha_2 \quad (7)$$

$$\rho_0 V_{23}^2 = \mu + (m + \lambda)\theta + 4\mu\alpha_2 + 2\mu\alpha_3 - \frac{1}{2}n\alpha_1 \quad (8)$$

$$\rho_0 V_{31}^2 = \mu + (m + \lambda)\theta + 4\mu\alpha_3 + 2\mu\alpha_1 - \frac{1}{2}n\alpha_2 \quad (9)$$

$$\rho_0 V_{32}^2 = \mu + (m + \lambda)\theta + 4\mu\alpha_3 + 2\mu\alpha_2 - \frac{1}{2}n\alpha_1 \quad (10)$$

$$\rho_0 V_{33}^2 = \lambda + 2\mu + (21 + \lambda)\theta + (4m + 4\lambda + 10\mu)\alpha_3 \quad (11)$$

در روابط بالا  $\alpha_1$ ،  $\alpha_2$ ،  $\alpha_3$  بیانگر کرنش‌های اصلی،  $\rho_0$  چگالی نخستین (با اعمال تنفس)، چگالی قطعه می‌کند،  $\mu$  و ثابت‌های الاستیک درجه دوم،  $m$  و  $n$  و ثابت‌های الاستیک درجه سوم،  $v_{ij}$  بیانگر سرعت موج آلتراسونیکی است که در آن اندیس  $i$  نشانگر جهت انتشار موج و اندیس  $j$  نشانگر جهت ارتعاش ذرات تحت تاثیر موج است و  $. \theta = \alpha_3 + \alpha_2 + \alpha_1$

برای نمونه  $v_{23}$  بیانگر انتشار یا ارسال موج در جهت ۲ و حرکت ذرات حامل موج در راستای جهت ۳ است. از آن جا که موج طولی، موجی است که جهت انتشار آن با جهت ارتعاش ذره یکسان باشد؛ بنابراین بر این اساس، سرعت‌های  $v_{11}$ ،  $v_{22}$  و  $v_{33}$  نشانگر امواج طولی است که از این بین سرعت موج طولی است که در راستای اعمال بار (امتداد جهت ۱) در قطعه متشر می‌شود. سایر سرعت‌ها مربوط به امواج عرضی هستند که در آنها ذرات، عمود بر راستای انتشار موج، مرتضع می‌شوند.

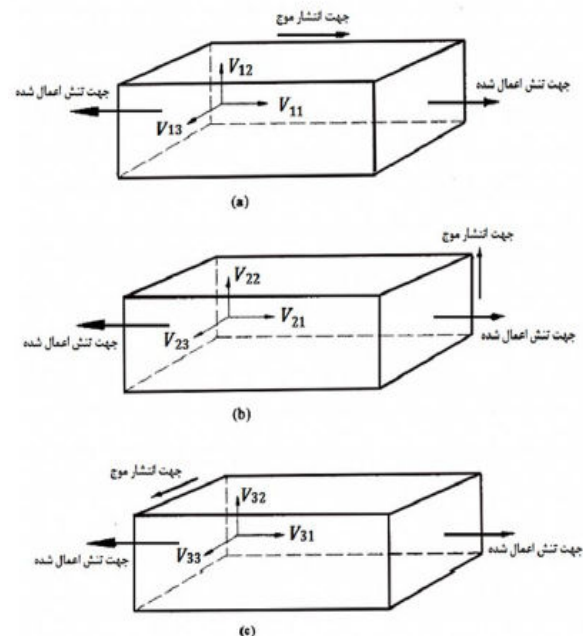
از دیدگاه میکروسکوپی، اعمال تنفس به یک ماده جامد سبب تغییر مدول الاستیک، فاصله بین اتمی و چگالی آن می‌شود.

چنان‌چه هدف این باشد که موج طولی منکسر شده در محیط ۲، روی سطح قطعه بیفتند و در امتداد سطح قطعه حرکت کند باید زاویه انکسار موج طولی در محیط ۲ برابر با ۹۰ درجه شود؛ بنابراین طبق معادله اسنل، زاویه تابش موج طولی در محیط ۱ باید مقدار خاصی باشد که این زاویه تابش را زاویه بحرانی اول یا  $\theta_{cr}$  می‌نامند. برای به دست آوردن این زاویه تابش، کافی است در رابطه اسنل به جای  $\theta_L$  مقدار ۹۰ درجه قرار داده شود، آن گاه  $\theta$  به دست آمده همان زاویه بحرانی نخست و فرمول آن به شکل رابطه (۲) خواهد بود.

$$\theta_{cr} = \sin^{-1}\left(\frac{C}{C_L}\right) \quad (2)$$

این موج طولی ایجاد شده در سطح ماده ۲ که به موازات سطح منتشر می‌شود را همان موج طولی با زاویه شکست بحرانی یا موج LCR می‌گویند.

هوگس و کلی [۲]، با توجه به شکل ۳ معادلات مربوط به ارتباط سرعت‌های موج آلتراسونیک با کرنش الاستیک را در یک جسم ایزوتropیک به صورت روابط (۱۱ تا ۱۱) بیان کردند.



شکل ۲- سرعت‌های مورد استفاده در روابط آکستو الاستیسیته

$$\rho_0 V_{11}^2 = \lambda + 2\mu + (2l + \lambda)\theta + (4m + 4\lambda + 10\mu)\alpha_1 \quad (3)$$

$$\rho_0 V_{23}^2 = \rho_0 V_{32}^2 \\ = \mu + \left[ (\lambda + m)(1 - 2\nu) - 6\mu \times \nu \left( \frac{n}{2} \right) \right] \varepsilon \quad (21)$$

برای محاسبه تغییرات سرعت موج نسبت به کرنش، کافی است از طرفین معادلات بالا نسبت به کرنش، مشتق بگیریم که معادلات (۲۶-۲۷) به دست می‌آیند.

$$\frac{dV_{11}/V_{11}^0}{d\varepsilon} \\ = 2 + \frac{\mu + 2m + \mu \times \nu(1 + 2l/\lambda)}{\lambda + 2\mu} = L_{11} \quad (22)$$

$$\frac{dV_{12}/V_{12}^0}{d\varepsilon} = 2 + \frac{n \times \nu}{4\mu} + \frac{m}{2(\lambda + \mu)} = L_{12} \quad (23)$$

$$\frac{dV_{21}/V_{21}^0}{d\varepsilon} = \frac{\lambda + 2\mu + m}{2(\lambda + \mu)} + \frac{n \times \nu}{4\mu} = L_{21} \quad (24)$$

$$\frac{dV_{22}/V_{22}^0}{d\varepsilon} = -2\nu \left[ 1 + \frac{m - \mu l/\lambda}{\lambda + 2\mu} \right] = L_{22} \quad (25)$$

$$\frac{dV_{23}/V_{23}^0}{d\varepsilon} = \frac{m - 2\mu}{2(\lambda + \mu)} + \frac{n}{4\mu} = L_{23} \quad (26)$$

در روابط بالا  $L_{ij}$  را که نسبت تغییرات سرعت موج به تغییرات کرنش است، ثابت آکوستوالاستیک می‌گویند و اندیس ۰ نشانگر سرعت موج در حالتی است که ماده بدون کرنش و تغییر شکل باشد.  $L_{11}$  ضریب آکوستوالاستیک موج LCR است.

با استفاده از رابطه تنش-کرنش یک بعدی در مواد الاستیک می‌توان مقدار تغییرات تنش را با تغییر رابطه (۲۲) به طریق رابطه (۲۷) به دست آورد.

$$d\sigma = \frac{E(dV_{11}/V_{11}^0)}{L_{11}} \quad (27)$$

در فرمول بالا  $d\sigma$  تغییرات تنش و E مدول الاستیک است. رابطه (۲۷) را می‌توان بر حسب زمان پرواز موج به صورت رابطه (۲۸) ارائه کرد که  $t_0$  در رابطه (۲۸) بیانگر زمان پرواز موج در ماده بدون تنش و  $dt$  بیانگر تغییرات زمان پرواز موج به دلیل حضور تنش است.

$$d\sigma = \frac{E(dt/t_0)}{L_{11}} \quad (28)$$

این تغییرات نیز به سهم خود سبب تغییر در سرعت موج آلتراسونیک می‌شود. این یعنی در قطعه تحت تنش، رابطه تنش و کرنش خطی نیست و به صورت رابطه (۱۲) است.

$$\sigma = E\varepsilon + C\varepsilon^2 + D\varepsilon^3 + \dots \quad (12)$$

در رابطه با بالا C و D به ترتیب ثابت‌های غیرهارمونیک مرتبه دوم و سوم که خود تابعی از ثبات الاستیک درجه دوم و سوم است. در برخی از حالات از جملات غیرخطی صرف نظر می‌کنند، ولی در اکستولاستیسیته نه تنها از آنها صرف نظر نمی‌کنند بلکه آنها بیشتر مورد توجه قرار می‌گیرند. با استفاده از ثبات الاستیک درجه دوم، می‌توان مدلول‌های مهندسی روابط (۱۵) را نیز به دست آورد.

$$G = \mu \quad (13)$$

$$E = \mu(3\lambda + 2\mu)/(\lambda + \mu) \quad (14)$$

$$K = (3\lambda + 2\mu)/3 \quad (15)$$

در روابط بالا G، E و K به ترتیب مدلول‌های برشی، یانگ و بالک است. در حالت تنش تک محوره که تنش در جهت ۱ به قطعه وارد می‌شود و کرنش در این جهت ۶ و ضریب پواسون ۷ است. معادلات سرعت که بالاتر بیان شده، به شکل روابط (۲۱-۲۶) در می‌آیند.

$$\alpha_1 = \varepsilon, \quad \alpha_2 = \alpha_3 = -\nu \times \varepsilon \quad (16)$$

$$\rho_0 V_{11}^2 \\ = \lambda + 2\mu \left[ 4(2\mu + \lambda) + 2(\mu + 2m) + \nu \times \mu \left( 1 + \frac{2l}{\lambda} \right) \right] \varepsilon \quad (17)$$

$$\rho_0 V_{12}^2 = \rho_0 V_{13}^2 \\ = \mu + \left[ 4\mu + m(1 - 2\nu) + \nu \left( \frac{n}{2} \right) \right] \varepsilon \quad (18)$$

$$\rho_0 V_{22}^2 \\ = \lambda + 2\mu + [2l(1 - 2\nu) - 4\nu(m + \lambda + 2\mu)]\varepsilon \quad (19)$$

$$\rho_0 V_{21}^2 = \rho_0 V_{31}^2 \\ = \mu + \left[ (\lambda + 2\mu + m)(1 - 2\nu) + \nu \left( \frac{n}{2} \right) \right] \varepsilon \quad (20)$$

$$\frac{da}{dN} = c(K_{\max}(1-R)^m)^n \quad (33)$$

بطوریکه در آن  $R$  بیانگر نسبت سیکل می‌باشد. حال اگر در جسم تنش پسمند داشته باشیم می‌توان تغییرات شدت تنش را بصورت زیر رابطه (۳۴) نمود.

$$\begin{aligned} \Delta K_{tot} &= \Delta K_{eff}^{max} - \Delta K_{eff}^{min} \\ &= (K_{ext}^{max} + K_{res}) - (K_{ext}^{min} + K_{res}) \\ &= \Delta K_{ext} \end{aligned} \quad (34)$$

باتوجه به رابطه (۳۳) می‌توان نوشت:

$$\frac{da}{dN} = c(\Delta K_{ext}(1-R_{eff})^{m-1})^n \quad (35)$$

بطوریکه در آن نسبت سیکل موثر بصورت رابطه (۳۶) تعریف می‌شود.

$$R_{eff} = \frac{K_{ext}^{min} + K_{res}}{K_{ext}^{max} + K_{res}} \quad (36)$$

بنابراین می‌توان رابطه (۳۵) را بصورت رابطه (۳۷) بازنویسی نمود.

$$\frac{da}{dN} = c(\Delta K_{ext}\left(\frac{\Delta K_{ext}}{K_{ext}^{max} + K_{res}}\right)^{m-1})^n \quad (37)$$

#### ۴. حذف تنش پسمند توسط امواج آلتراسونیک

ابتدا انتشار امواج حجمی در جسم دارای تنش پسمند را بررسی می‌کنیم. معادلات حرکت یک ذره با مختصات مادی  $x_i$  بدون در نظر گرفتن نیروی حجمی را می‌توان چنین نوشت:

$$\frac{\partial \sigma_{ij}}{\partial x_j} = \rho_0 \frac{\partial^2 u_i}{\partial t^2} \quad i, j = 1, 2, 3 \quad (38)$$

که در آن  $\sigma_{ij}$  مولفه‌های تانسور تنش در نقطه  $x_i$  چگالی در حالت تغییر شکل نیافته،  $\rho_0$  مولفه‌های جابجایی از  $x_i$  به مختصات  $x_i$  است.

قرارداد جمع روی اندیس تکراری برقرار بوده و  $x_i = x_i(X_1, X_2, X_3)$ ,  $u_i = x_i - X_i$  مشتق‌گیری از تابع چگالی انرژی کرنشی کشناسانی جسم در حالت تغییر شکل نیافته ( $\emptyset$ ) بر حسب مولفه‌ی کرنش

معادله بالا را می‌توان برای دیگر جهت‌ها نیز استفاده کرد. در نهایت برای اندازه گیری تغییرات تنش از روی تغییرات زمان پرواز موج، از رابطه (۲۹) استفاده می‌شود.

$$\Delta\sigma = \frac{E}{L \times t_0} \Delta t = \frac{E(t - t_0)}{L \times t_0} \quad (29)$$

در رابطه بالا،  $L$  ضریب آکستوالاستیک ماده است که به صورت تجربی و با انجام تست کشنش تک محوره برای هر ماده اندازه گیری می‌شود، همچنین در معادله بالا،  $t$  زمان پرواز موج در ماده تحت تنش و  $t_0$  زمان پرواز موج در همان ماده ولی در حالت بدون تنش است.

#### ۳. پیش بینی عمر خستگی در میدان تنش پسمند کشنشی

۳.۱. ضریب شدت در میدان تنش پسمند کشنشی زمانی که در ماده ای تنش پسمند داشته باشیم، ضریب شدت تنش موثر  $K_{eff}$  مطابق اصل جمع آثار بصورت مجموع ضریب شدت تنش ناشی از بارگذاری سیکلی و تنش پسمند مطابق رابطه (۳۰) تعریف می‌شود.

$$K_{eff} = K_{ext} + K_{res} \quad (30)$$

در جاییکه ضریب شدت تنش ناشی از بارگذاری سیکلی بصورت رابطه (۳۱) تعریف می‌شود.

$$K_{ext} = f\left(\frac{a}{W}\right)\sigma_{ext}\sqrt{\pi a} \quad (31)$$

و ضریب شدت تنش ناشی از تنش پسمند با استفاده از تابع وزن مناسب از طریق رابطه (۳۲) حاصل می‌شود.

$$K_{res} = \int W(x, a)\sigma_{res}(x)dx \quad (32)$$

#### ۳.۲. نرخ رشد ترک خستگی در میدان تنش پسمند کشنشی

والکر [۷]، برای محاسبه نرخ رشد ترک خستگی از رابطه (۳۳) استفاده نمود.

مشروط بر آن که نامساوی (۴۴) برقرار باشد:

$$u_i^{\text{Static}} \gg u_i^{\text{Dynam}} \quad (44)$$

با این فرض که حرکت موج هارمونیک باشد، می‌توان معادله (۴۳) را به صورت معادل (۴۵) نوشت:

$$u_i = \varepsilon_i X_i + m_i A e^{i(\omega t - k_j x_j)} \quad (45)$$

که در آن  $\varepsilon$  کرنش‌های اصلی،  $\omega$  فرکانس،  $m_i$  کسینوس‌های هادی بردار جابجایی با محورهای اصلی،  $A$  دامنه جابجایی و  $k_j$  مولفه‌های بردار موج است و قرارداد جمع فقط روی اندیس مکرر  $j$  صادق است. جمله اول نشانگر جابجایی کشسان اولیه در جسم جامد همسانگردی است که تحت میدان تنش قرار گرفته است. جمله دوم نشانگر تغییر شکل بسیار کوچکی است که بر اثر انتشار موج صفحه‌ای از میان یک جسم ناهمسانگرد به وجود آمده است.

از موج آلتراسونیک جهت حذف تنش پسماند استفاده نمود بطوریکه میدان تنش بوجود آمده توسط این امواج با تنش پسماند موجود در جسم جمع شده و بخش عمدۀ ای از آنها از حد پلاستیک، تجاوز نموده، قسمت قابل توجهی از تنش-های پسماند کششی آزاد می‌شود و در نهایت حذف و به تنش پسماند فشاری تبدیل می‌شود.

بدین منظور از موج آلتراسونیک طولی بصورت چند پالسه استفاده می‌گردد. میدان تنش بوجود آمده را می‌توان توسط رابطه (۴۶) بدست می‌آیند.

$$U = 2A \cos\{0.5\Delta KX - 0.5\Delta Wt\} \cdot \cos(KX - Wt) \quad (46)$$

یا بصورت مجموعه‌ای از جملات رابطه (۴۷) نوشت:

$$U = \sum_i^n A_i \cos(k_i x - w_i t) \quad (47)$$

قانون هوک مطابق رابطه (۴۸) بیان می‌شود.

$$\begin{aligned} \sigma_{ij} &= \lambda e \delta_{ij} + 2\mu E_{ij} \\ \sigma_x &= (\lambda + 2\mu) \frac{\partial U}{\partial x} \end{aligned} \quad (48)$$

لذا می‌توان رابطه (۴۸) را بر حسب رابطه (۴۷) نوشت.

محدود لاغرانژی (E) به صورت معادله (۳۹) نوشه می-

شود:

$$[\sigma] = [J] \left[ \frac{\partial \varphi}{\partial E} \right] \quad (39)$$

تانسور کرنش محدود لاغرانژی بر حسب ژاکوبین (J) و تانسور واحد (I) نیز به صورت معادله (۴۰) نوشت می-

شود:

$$E = \frac{1}{2} (J^T J - I) \quad (40)$$

ماتریس ژاکوبین از رابطه (۴۱) قابل محاسبه است:

$$[J] = \left[ \frac{\partial x_i}{\partial X_j} \right] \quad (41)$$

چگالی انرژی کرنشی برای یک جامد کشسان همسانگرد به صورت تابعی از سه مقدار پایای  $I_1, I_2, I_3$  تانسور کرنش لاغرانژی نوشه می‌شود:

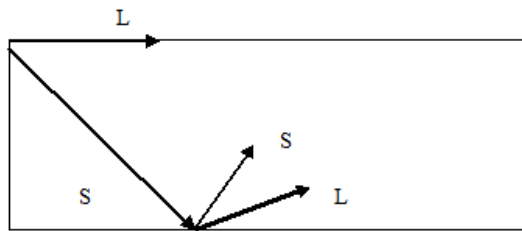
$$\begin{aligned} \emptyset &= \frac{1+2m}{3} I_1^3 + \frac{\lambda+2\mu}{2} I_1^2 - 2m I_1 I_2 \\ &\quad - 2\mu I_2 + n I_3 \end{aligned} \quad (42)$$

که در آن  $J$  و  $m$  و  $n$  سه مقدار ثابت جدید ماده به نام ثابت-های کشسانی مرتبه‌ی سوم هستند که با آزمایش باید تعیین شوند.

با قرار دادن معادلات (۴۰) تا (۴۲) در معادله (۳۹) و جایگزینی عبارت‌های حاصل برای تنش در معادله (۳۸)، معادلات حرکت غیرخطی در جهت‌های  $X_3, X_2, X_1$  به دست می‌آید.

اگر جابجایی هر نقطه ترکیبی از دو بخش در نظر گرفته شود: ۱. بخش استاتیکی ( $u_i^{\text{Static}}$ ) که ممکن است بر اثر وجود یک میدان تنش پسماند یا تنش اولیه ایجاد شده باشد؛ ۲. بخش دینامیکی ( $u_i^{\text{Dynamic}}$ ) که بر اثر انتشار امواج صفحه‌ای کم دامنه به وجود می‌آید، مولفه‌های جابجایی در مختصات کارتزین را می‌توان چنین نوشت:

$$u_i^{\text{Total}} = u_i^{\text{Static}} + u_i^{\text{Dynam}} \quad (43)$$



شکل ۴- انعکاس موج در محیط ۲

لذا رابطه (۴۸) را می‌توان بصورت رابطه (۵۴-۵۵) نوشت.

$$\sigma_x = \lambda \left( \frac{\partial u_1}{\partial x} + \frac{\partial u_2}{\partial y} \right) + 2\mu \left( \frac{\partial^2 u_1}{\partial x^2} \right) \quad (54)$$

$$\sigma_{xy} = \mu \left( \frac{\partial u_1}{\partial y} + \frac{\partial u_2}{\partial x} \right) \quad (55)$$

## ۵. پیش‌بینی عمر خستگی (در حالتی که تنفس پسماند در حال حذف شدن است)

همانطور که گفته شد تنفس پسماند کششی به مرور توسط امواج آلتراسونیک حذف می‌شود لذا ضریب شدت تنفس ناشی از تنفس پسماند مطابق رابطه (۳۲) بدلیل تغییر توزیع تنفس پسماند در حال تغییر است. در نتیجه مطابق رابطه (۳۶) نرخ رشد نسبت سیکل موثر و در نهایت مطابق رابطه (۳۷) نرخ رشد ترک خستگی نیز در حال کاهش است.

لذا در هر مرحله حذف تنفس پسماند، نرخ رشد ترک خستگی بصورت رابطه (۵۶) بدست می‌آید:

$$\frac{da}{dN} = c (\Delta K_{ext} \left( \frac{\Delta K_{ext}}{K_{ext}^{max} + K_{res}^t} \right)^{m-1})^n \quad (56)$$

که در آن  $K_{res}^t$  ضریب شدت تنفس ناشی از میدان تنفس پسماند لحظه‌ای است.

پس از حذف کامل تنفس‌های پسماند کششی، یک ناحیه پلاستیک تشکیل می‌شود که منجر به ایجاد تنفس‌های پسماند فشاری می‌گردد. لذا ضریب شدت تنفس ناشی از تنفس‌های پسماند کششی  $K_{res}$  کاملاً حذف و ضریب شدت تنفس ناشی از تنفس‌های پسماند فشاری  $K_{res}^c$  جایگزین آن می‌شود. بنابراین رابطه ضریب شدت تنفس موثر بصورت رابطه (۵۷) اصلاح می‌گردد:

$$K_{eff} = K_{ext} - K_{res}^c \quad (57)$$

$$\sigma_x = (\lambda + 2\mu) \sum_i^n i A_i k_i e^{(k_i x - w_i t)} \quad (49)$$

از آنجا که موج LCR یک موج طولی است بنابر معادله ناویر (۵۰) و تجزیه هلمهولتز (۵۱) را می‌توان مطابق معادلات (۵۲) نوشت:

$$(\lambda + \mu) \nabla \nabla U + \mu \nabla^2 U = \rho \frac{\partial^2 U}{\partial t^2} \quad (50)$$

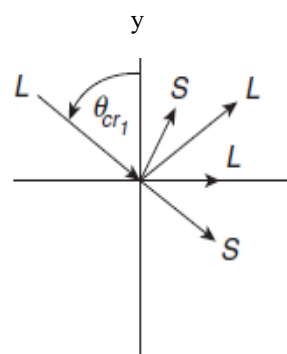
$$U = \nabla \varphi + \nabla \times H \quad (51)$$

$$\begin{aligned} \nabla &= \left[ (\lambda + 2\mu) \nabla^2 \varphi - \rho \frac{\partial^2 U}{\partial t^2} \right] + \nabla \\ &\times \left[ \mu \nabla^2 H - \rho \frac{\partial^2 U}{\partial t^2} \right] = 0 \end{aligned} \quad (52)$$

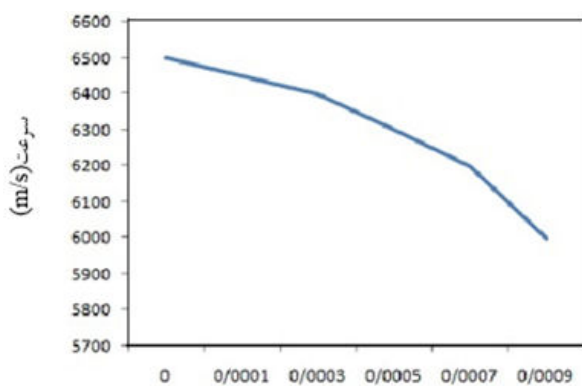
از آنجا که هر ترم معادله (۵۲) برابر صفر است، می‌توان نوشت:

$$\begin{cases} (\lambda + 2\mu) \nabla^2 \varphi - \rho \frac{\partial^2 U}{\partial t^2} = 0 \rightarrow \nabla^2 \varphi = \frac{1}{C_T^2} \frac{\partial^2 U}{\partial t^2} \\ \mu \nabla^2 H - \rho \frac{\partial^2 U}{\partial t^2} = 0 \rightarrow \nabla^2 H = \frac{1}{C_T^2} \frac{\partial^2 U}{\partial t^2} \end{cases} \quad (53)$$

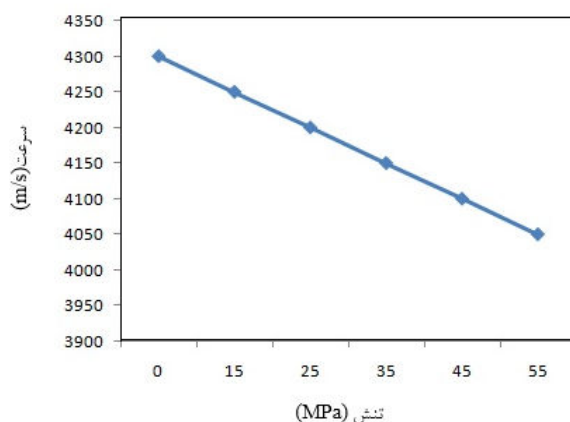
از طرفی دیگر می‌دانیم که موج LCR مطابق شکل (۳) موازی با سطح منتشر می‌گردد و در محیط ۲ فقط موج عرض داریم که این موج عرضی با برخورد در هر سطح در ماده ۲ مطابق شکل (۴) به صورت موج‌های طولی و عرضی منعکس می‌گردد. با ادامه این روند مجموعه‌ای از موج‌ها را داریم که با هم حرکت می‌کنند.



شکل ۳- نمایش موج LCR

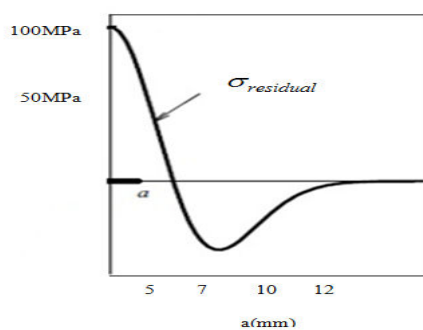


شکل ۶- تغییرات سرعت امواج طولی در آلیاژ 2024-T351

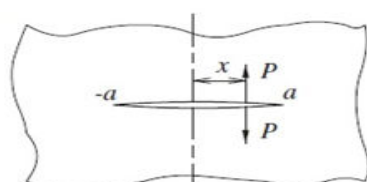


شکل ۷- تغییرات سرعت امواج طولی در آلیاژ 2024-T351

توزيع تنش پسماند طولی در این اتصال در راستای خط جوش مطابق شکل (۸) بدست آمده است. همچنین نحوه قرارگیری ترک مطابق شکل (۹) آمده است.



شکل ۸- نحوه توزیع تنش پسماند طولی



شکل ۹- ترک واقع در وسط ورق

و در نتیجه رابطه رشد ترک خستگی بصورت رابطه (۵۸) اصلاح می‌گردد.

$$\frac{da}{dN} = c(\Delta K_{ext}(1 - R_{eff}^C)^{m-1})^n \quad (58)$$

که در آن نسبت سیکل موثر فشاری بصورت رابطه (۵۹) اصلاح می‌گردد.

$$R_{eff} = \frac{K_{ext}^{min} + K_{res}^C}{K_{ext}^{max} + K_{res}^C} \quad (59)$$

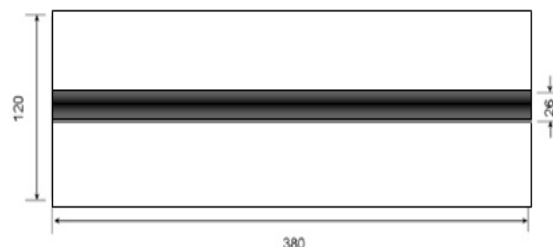
## ۶. مطالعه موردی

همانطور که گفته شد، موج LCR یک موج طولی می‌باشد که در صورتی که تنش تک محوره در جهت (۱) به قطعه مطابق شکل (۲) وارد گردد بصورت رابطه (۱۷) می‌توان ارتباط سرعت موج LCR با کرنش الاستیک را بدست آورد. در جدول یک برای این آلیاژ ثابت‌های کشسانی مرتبه دوم و سوم آورده شده است.

جدول ۱- ثابت‌های کشسانی مرتبه دوم و سوم آلیاژ 2024-T351  
بر حسب گیگا پاسکال

$\nu$	$E$	$\mu$	$\lambda$	$n$	$m$	$l$
0.34	73	27	60	-408	-400	-310

همچنین در شکل (۵) نحوه جوشکاری لب به لب دو ورق از این جنس را به همراه مشخصات هندسی و مکانیکی نشان می‌دهد.

شکل ۵- جوشکاری لب به لب دو ورق از جنس آلیاژ 2024-T351  
( $\sigma_y = 325 MPa$ ,  $\sigma_u = 470 MPa$ )

براساس رابطه‌های (۲۲) و (۲۹) تغییرات سرعت موج نسبت به کرنش و تنش به ترتیب در شکل‌های (۶) و (۷) آمده است.

$$\frac{da}{dN} = 1.8 \times 10^{-10} (\Delta K_{eff})^{3.5} \quad (61)$$

برای این حالت در شکل‌های (۱۰) و (۱۱) نحوه اثر گذاری میدان تنش پسماند را روی ضریب شدت تنش و نرخ رشد ترک خستگی را نشان می‌دهد. در این شکل‌ها تغییرات ضریب شدت تنش و نرخ رشد ترک خستگی را برای طول‌های مختلف ترک، در حالت‌های مختلف حضور و عدم حضور میدان تنش‌های پسماند نشان می‌دهد.

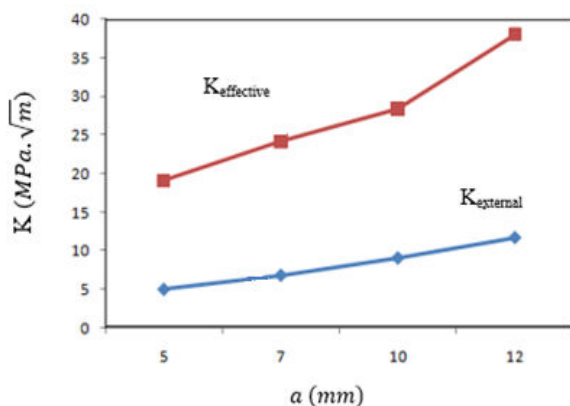
براساس شکل (۹) می‌توان تابع وزن را بصورت رابطه (۶۰) و ضریب شدت تنش ناشی از میدان تنش‌های پسماند کششی را از رابطه (۳۲) بدست آورد.

$$W(a, x) = \frac{1}{\sqrt{\pi a}} \left( \frac{a+x}{a-x} \right)^{\frac{1}{2}} \quad (60)$$

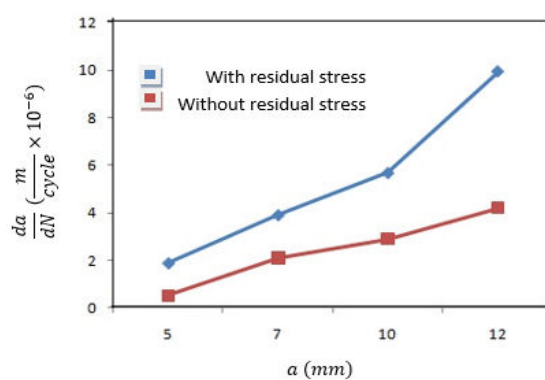
در جدول (۲) برای طول‌های مختلف ترک در نظر گرفته شده، ضریب شدت تنش ناشی از بارگذاری سیکلی ( $\Delta\sigma = 40 MPa$ ,  $R = 0$ )، ضریب شدت تنش موثر بر اساس رابطه‌های (۳۰) و (۳۱) و نرخ رشد ترک براساس رابطه (۶۱) بدست آمده است.

جدول ۲- نتایج مطالعه موردنی

$a$ (mm)	$K_{ext}(MPa\sqrt{m})$	$K_{res}(MPa\sqrt{m})$	$K_{eff}(MPa\sqrt{m})$	$\frac{da}{dN}$ (m/cyde)
۵	۵/۱	۹	۱۴/۰۱۱	$1/89 \times 10^{-6}$
۷	۵/۹	۱۱/۵	۱۶/۴۳	$3/91 \times 10^{-6}$
۱۰	۷/۱	۱۲/۳	۱۹/۳۸	$5/68 \times 10^{-6}$
۱۲	۷/۷	۱۸/۶	۲۶/۳۶	$9/94 \times 10^{-6}$



شکل ۱۰- نحوه تغییرات ضریب شدت تنش



شکل ۱۱- نحوه تغییرات نرخ رشد ترک خستگی

جهت کاهش تنش پسماند توسط موج آلتراسونیک و براساس روابط بیان شده در بخش (۴)، با فرکانس طبیعی قطعات مورد نظر در مدت ده دقیقه منجر به کاهش ۲۰ درصدی کاهش تنش پسماند می‌گردد. در جدول (۳) ضریب شدت تنش موثر و نرخ رشد ترک محاسبه شده در این حالت را برای طول ترک ۵ میلی‌متر و بارگذاری سیکلی مفروض نشان می‌دهد. نتایج نشان می‌دهد که عمر خستگی به میزان ۳۱ درصد افزایش می‌یابد.

جدول ۳- ضریب شدت تنش و نرخ رشد ترک خستگی بعد درصد کاهش تنش پسماند

$a$ (mm)	$K_{res}(MPa\sqrt{m})$	$\frac{da}{dN}$ (m/cycle)	Fatigue Life (%)
۵	۷/۲	$1/1 \times 10^{-6}$	+۳۱%

[10] MC Sun, YH Sun, RK Wang., "Vibratory stress relieving of welded sheet steels of low alloy high strength steel." *Materials Letters* ,**8** (2004) 1396-1399.

[11] S Hirai, S Aoki., "Reduction of Residual Stress by Ultrasonic Surface Vibration." *Elektronika ir Elektrotechnika* , **3** (2003) 64-67.

[12] L Du, Q Wang "Experimental study on ultrasonic stress relief for cured SU-8 photoresist layer." *Microelectronic Engineering* ,**12** (2010) 2555-2560

## ۷. نتیجه گیری

در این مقاله، قابلیت روش آلتراسونیک با استفاده از موج طولی با زاویه شکست بحرانی یا موج LCR، در اندازه گیری و حذف تنش پسماند ناشی از جوشکاری مورد بررسی قرار گرفته است. دو ورق از جنس آلیاژ T351-2024 به یکدیگر جوش داده شده‌اند. نتایج نشان می‌دهد که این روش جهت محاسبه و حذف تنش پسماند بسیار مناسب است. اگر امتداد تنش موج و تنش یکسان باشد در حالت کششی، سرعت موج طولی کاهش می‌یابد. همچنین تغییرات سرعت موجی برای امواج طولی که در امتداد تنش منتشر می‌شوند نسبت به سایر مودها بیشتر است. جهت تنش‌زدایی با یک فرکانس مشخص با افزایش دامنه می‌توان ناحیه پلاستیکی بزرگ‌تری را ایجاد کرد و این امر منجر به نرم شدن آکوستیکی ماده می‌گردد. همچنین در این مقاله روابط اصلاح شده‌ای برای محاسبه ضریب شدت تنش و نرخ رشد ترک خستگی در حالتی که میدان تنش‌های پسماند در حال کاهش هستند معرفی گردیده است. از این روابط می‌توان جهت محاسبه لحظه‌ای نرخ رشد ترک بر اساس کاهش درصدی تنش پسماند بهره برد.

## مرجع‌ها

- [1] F.D. Murnaghan, " Finite deformations of an elastic solid." *American Journal of Mathematics* , **2** (1937) 235-260.
- [2] D.S.Hughes and J.Kelly, Second-order elastic deformation of solids." *Physical review* , **5** (1953) 1145.
- [3] McGoldrick R. T., "Experiments in stress relieving castings and welded structures by vibration." *Journal of the american society of naval engineers* , **4** (1943) 589s-609s.
- [4] GP Wozney, GR Crawmer., "An investigation of vibrational stress relief in steel." *Welding Journal* , **9** (1968): 411s-418s.
- [5] IK Lokshin, Vibration treatment and dimensional stabilization of castings. *Russ cast prod.* **10** (1965) 454-457.
- [6] R Dawson, DG Moffat., Vibratory stress relief: a fundamental study of its effectiveness. (1980) 169-176.
- [7] CA Walker, AJ Waddell, DJ Johnston. "Vibratory stress relief—an investigation of the underlying processes." *Proceedings of the Institution of Mechanical Engineers, Part E: Journal of Process Mechanical Engineering* , **1** (1995) 51-58.
- [8] GC Luh, RM Hwang., Evaluating the effectiveness of vibratory stress relief by a modified hole-drilling method." *The International Journal of Advanced Manufacturing Technology* **14** (1998) 815-823.
- [9] A Munsi, AJ Waddell, CA Walker., "The influence of vibratory treatment on the fatigue life of welds: A comparison with thermal stress relief." *Strain* , **4** (2001) 141-149.